# Portfolioüberschneidung

## HAPI / PTLC

| Überschneidung | Gemeinsame Positionen |
|---|---|
| 43,63% | 122 |

## Harbor Human Capital Factor US Large Cap ETF

Bestandsdaten 30.04.2023 | 99,65% NAV

Überschneidung / HAPI 87,98%

## Pacer Trendpilot US Large Cap ETF

Bestandsdaten 30.04.2023 | 99,85% NAV

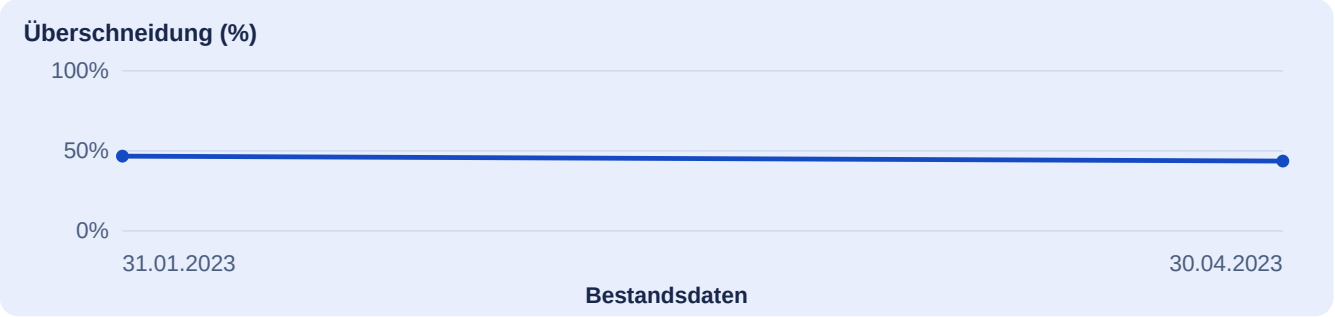
Überschneidung / PTLC 46,55%

## Größte gemeinsame Positionen

| Wertpapier | HAPI | PTLC | Überschneidung |
|---|---|---|---|
| Microsoft Corp | 5,58% | 6,57% | 5,58% |
| Apple Inc | 5,32% | 7,25% | 5,32% |
| NVIDIA Corp | 2,93% | 1,96% | 1,96% |

Die Gewichte beziehen sich auf das Nettofondsvermögen. Für jede gemeinsame Stammaktienklasse wird das kleinere Gewicht verwendet. Die Gewichte bleiben unverändert, wenn Positionen keiner Aktie zugeordnet werden können.

# Verlauf







2 gemeinsame Stichtage vom 31.01.2023 bis 30.04.2023. Beide Meldungen beziehen sich auf denselben Stichtag. Der erfasste Anteil des Nettofondsvermögens beträgt mindestens 99,65 %. Die Meldungen gingen 53 bis 59 Tage nach dem Stichtag ein. Die genaue Uhrzeit der Veröffentlichung geht aus dem Archiv nicht hervor.

# Größte Veränderungen

31.01.2023 / 30.04.2023 -3,08 pp

| Wertpapier | Überschneidung 31.01.2023 | Überschneidung 30.04.2023 | Änderung (PP) |
|---|---|---|---|
| Alphabet Inc | 0,00% | 1,83% | +1,83 |
| Berkshire Hathaway Inc | 0,00% | 1,70% | +1,70 |
| JPMorgan Chase & Co | 1,20% | 0,00% | -1,20 |
| Visa Inc | 1,10% | 0,00% | -1,10 |
| Microsoft Corp | 4,53% | 5,58% | +1,05 |
| Übrige gemeinsame Aktienklassen | | | -5,36 |

# Quellen und Methode

Die Gewichte beziehen sich auf das Nettofondsvermögen. Für jede gemeinsame Stammaktienklasse wird das kleinere Gewicht verwendet. Die Gewichte bleiben unverändert, wenn Positionen keiner Aktie zugeordnet werden können.

nport-common-equity-v1

| Bestandsdaten | Gewicht (%) | Klassen | HAPI · SEC | PTLC · SEC |
|---|---|---|---|---|
| 30.04.2023 | 43,63% | 122 | 0001752724-23-139322 | 0001145549-23-040384 |
| 31.01.2023 | 46,71% | 146 | 0001752724-23-075628 | 0001145549-23-018682 |